

РАЗДЕЛЕНИЕ ДИФФЕРЕНЦИАЛЬНОГО СЕЧЕНИЯ ПЕРЕЗАРЯДКИ $pr \rightarrow pn$ НА FLIP- И NON-FLIP- ЧАСТИ ПРИ ЭНЕРГИЯХ $T_n = 0,5\text{--}2,0$ ГэВ

Р. А. Шиндин¹, Д. К. Гурьев,
А. А. Морозов, А. А. Номофилов, Л. Н. Струнов

Объединенный институт ядерных исследований, Дубна

Новые результаты эксперимента «Дельта-сигма» по измерению отношения R_{dp} позволили с помощью формулы Дина разделить Flip- и Non-Flip-части дифференциального сечения реакции перезарядки $pr \rightarrow pn$ под нулевым углом. Решения фазового анализа для $pr \rightarrow pr$ упругого рассеяния переведены в представление перезарядки $pr \rightarrow pn$ с помощью унитарных преобразований, что показывает хорошее согласие теоретических и экспериментальных результатов.

The new «Delta-Sigma» experimental data on the ratio R_{dp} allowed separating the Flip and Non-Flip parts of the differential cross section of $np \rightarrow pn$ charge exchange process at the zero angle by the Dean formula. The PSA solutions for the $np \rightarrow np$ elastic scattering are transformed to the $np \rightarrow pn$ charge exchange representation using unitary transition, and good agreement is obtained.

PACS: 25.40.-h; 25.40.Kv

ВВЕДЕНИЕ

Основной задачей эксперимента «Дельта-сигма» [1] является получение полного набора pr -данных под нулевым углом: спиновой разности полных сечений $\Delta\sigma_L(pr)$ и $\Delta\sigma_T(pr)$ для продольной L - и поперечной T -поляризаций нуклонов пучка и мишени, спин-корреляционных параметров $A_{00kk}(pr)$ и $A_{00nn}(pr)$ [2], неполяризационных сечений $\sigma_{0\text{tot}}(pr)$, $d\sigma/dt(pr \rightarrow pn)$ и отношения R_{dp} . Переменная t является квадратом переданного 4-импульса от нейтрона пучка нейтрону отдачи в процессе перезарядки $pr \rightarrow pn$. Главная цель этих исследований — определение реальных и минимальных частей амплитуд pr -рассеяния в диапазоне энергий от 1,2 до 3,7 ГэВ. Чтобы снять знаковую неоднозначность в процедуре (DRSA) прямого восстановления реальных частей амплитуд, коллаборация «Дельта-сигма» провела измерения наблюдаемой $R_{dp} = d\sigma/dt(nd) / d\sigma/dt(np)$ — отношения выходов квазиупругого и упругого процессов перезарядки под нулем, используя D_2 - и H_2 -мишени.

Величина R_{dp} позволяет найти отношение r^{NFI}/F между Non-Flip- и Flip-вкладами (13, 14) в процессе $pr \rightarrow pn$ -перезарядки. Данную возможность обеспечивает свойство ядра дейтерия. При малых переданных импульсах оно работает как амплитудный фильтр

¹E-mail: romanshindin@yandex.ru

в реакции $nd \rightarrow p(nn)$, и Non-Flip-часть исчезает благодаря принципу Паули для двух медленных нейтронов. Точная связь между значениями $r^{\text{nfl/f}}$ и R_{dp} определена формулой Дина [3–5]. Для полноты рассмотрения в разд. 2 мы следуем процедуре, предложенной в работе [5].

Упругая np -реакция может быть представлена как $np \rightarrow pn$ -перезарядка под углом $\theta \equiv \theta_{\text{CM}}$, когда рассеянной частицей считается протон, либо как рассеяние нейтрона в обратном направлении на угол $(\pi - \theta)$ в реакции $np \rightarrow np$, и протон в данном случае выполняет роль частицы отдачи. Хотя оба представления дают одинаковые дифференциальные сечения, разделение на Flip- и Non-Flip-части у них различно [6, 7], и основная причина этого будет показана в разд. 3. Чтобы сравнивать энергетические зависимости экспериментальных значений R_{dp} или $r^{\text{nfl/f}}$ с решениями фазового анализа (PSA), необходимы амплитуды реакции перезарядки. Поскольку обычно используется другое представление, требуется провести унитарное преобразование матрицы рассеяния $np \rightarrow np (\pi - \theta)$ в матрицу процесса $np \rightarrow pn (\theta)$.

1. ФОРМАЛИЗМ NN -ВЗАИМОДЕЙСТВИЯ

В рамках изотопической инвариантности матрица упругого нуклон-нуклонного рассеяния записывается в виде

$$M(\mathbf{p}', \mathbf{p}) = M_0(\mathbf{p}', \mathbf{p}) \frac{1 - \hat{\tau}^{(1)} \hat{\tau}^{(2)}}{4} + M_1(\mathbf{p}', \mathbf{p}) \frac{3 + \hat{\tau}^{(1)} \hat{\tau}^{(2)}}{4}, \quad (1)$$

где $\hat{\tau}^{(1)}$ и $\hat{\tau}^{(2)}$ являются операторами Паули двух нуклонов, \mathbf{p} и \mathbf{p}' — импульсы налетающей и рассеянной частиц, а спиновые матрицы M_0 и M_1 описывают NN -рассеяние в чистых изотопических состояниях $T = 0$ и $T = 1$ соответственно. Используя обычные операторы спина $\hat{\sigma}^{(1)}$ и $\hat{\sigma}^{(2)}$, матрицы M_0 и M_1 можно записать в амплитудном представлении Гольдбергера–Батсона [8, 9]:

$$\begin{aligned} M_T(\mathbf{p}', \mathbf{p}) = & a_T + b_T(\hat{\sigma}^{(1)} \mathbf{n})(\hat{\sigma}^{(2)} \mathbf{n}) + c_T(\hat{\sigma}^{(1)} \mathbf{n} + \hat{\sigma}^{(2)} \mathbf{n}) + \\ & + e_T(\hat{\sigma}^{(1)} \mathbf{m})(\hat{\sigma}^{(2)} \mathbf{m}) + f_T(\hat{\sigma}^{(1)} \mathbf{l})(\hat{\sigma}^{(2)} \mathbf{l}). \end{aligned} \quad (2)$$

Здесь амплитуды (a, b, c, e, f) являются комплексными функциями энергии взаимодействующих частиц и переменной $\cos \theta = (\mathbf{p} \cdot \mathbf{p}') / (|\mathbf{p}| \cdot |\mathbf{p}'|)$, индекс T равен значению изотопического спина, а базисные векторы определены формулами

$$\mathbf{n} = \frac{\mathbf{p} \times \mathbf{p}'}{|\mathbf{p} \times \mathbf{p}'|}, \quad \mathbf{m} = \frac{\mathbf{p} - \mathbf{p}'}{|\mathbf{p} - \mathbf{p}'|}, \quad \mathbf{l} = \frac{\mathbf{p} + \mathbf{p}'}{|\mathbf{p} + \mathbf{p}'|}. \quad (3)$$

Если направление рассеяния изменить на обратное $\mathbf{p}' \rightarrow -\mathbf{p}'$, получим инвертированный базис $(\tilde{\mathbf{n}}, \tilde{\mathbf{m}}, \tilde{\mathbf{l}})$, который связан с векторами $(\mathbf{n}, \mathbf{m}, \mathbf{l})$ следующим образом:

$$\tilde{\mathbf{n}} = -\mathbf{n}, \quad \tilde{\mathbf{m}} = \mathbf{l}, \quad \tilde{\mathbf{l}} = \mathbf{m}. \quad (4)$$

Переходя от нуклонов к реальным нейтрону и протону, получаем четыре независимых варианта NN -взаимодействия (pp , nn , np и pn). После несложных преобразований

формулы (1) находим собственные матрицы рассеяния для этих вариантов:

$$M^{pp} = M_1 \times \frac{1}{4} \left(1 - \tau_3^{(1)} - \tau_3^{(2)} + \tau_3^{(1)} \tau_3^{(2)} \right), \quad (5)$$

$$M^{nn} = M_1 \times \frac{1}{4} \left(1 + \tau_3^{(1)} + \tau_3^{(2)} + \tau_3^{(1)} \tau_3^{(2)} \right), \quad (6)$$

$$M^{np \rightarrow np} = M^{pn \rightarrow pn} = \frac{1}{2} (M_1 + M_0) \times \frac{1}{2} \left(1 - \tau_3^{(1)} \tau_3^{(2)} \right), \quad (7)$$

$$M^{np \rightarrow pn} = M^{pn \rightarrow np} = \frac{1}{2} (M_1 - M_0) \times \left(\tau_+^{(1)} \tau_-^{(2)} + \tau_-^{(1)} \tau_+^{(2)} \right). \quad (8)$$

Здесь все операторы, стоящие справа за символом умножения « \times », являются эрмитовыми, а изоспиновые матрицы τ_3 , τ_+ и τ_- определены так же, как в матричной механике Паули [10]:

$$\tau_3 = \begin{pmatrix} 1 & 0 \\ 0 & -1 \end{pmatrix}, \quad \tau_+ = \begin{pmatrix} 0 & 1 \\ 0 & 0 \end{pmatrix}, \quad \tau_- = \begin{pmatrix} 0 & 0 \\ 1 & 0 \end{pmatrix}. \quad (9)$$

Легко видеть, что вариант pr , равно как и симметричный ему вариант pn , распадается на простое упругое рассеяние (7) и взаимодействие с перезарядкой (8), меняющее местами нейтрон и протон. Дифференциальное сечение любой из перечисленных упругих реакций без поляризации нуклонов определяется по формуле

$$\frac{d\sigma}{dt} = \frac{1}{4} \operatorname{tr} \{ MM^+ \} = |a|^2 + |b|^2 + 2|c|^2 + |e|^2 + |f|^2, \quad (10)$$

в которой при чистых изотопических состояниях (5) и (6) берутся амплитуды с индексом $T = 1$, а в смешанных случаях (7) или (8) подставляются полусуммы $A = (1/2)(A_1 + A_0)$ или полуразности $A = (1/2)(A_1 - A_0)$ соответственно, где A — символ любой из пяти амплитуд.

2. FLIP- И NON-FLIP-ЧАСТИ РАССЕЯНИЯ

Используя амплитудное представление Гольдбергера–Ватсона (2), запишем матрицу M_σ , действующую только на спиновые переменные двух нуклонов:

$$M_\sigma = \hat{\lambda} + \hat{\sigma}^{(2)} \hat{\mu}, \quad (11)$$

где

$$\hat{\lambda} = a + c (\hat{\sigma}^{(1)} \mathbf{n}) \quad \text{и} \quad \hat{\mu} = b (\hat{\sigma}^{(1)} \mathbf{n}) \mathbf{n} + c \mathbf{n} + e (\hat{\sigma}^{(1)} \mathbf{m}) \mathbf{m} + f (\hat{\sigma}^{(1)} \mathbf{l}) \mathbf{l}. \quad (12)$$

Оператор $\hat{\lambda}$ не изменяет спинового состояния частицы 2 и может быть определен как Non-Flip. Наоборот, $\hat{\sigma}^{(2)} \hat{\mu}$ преобразует проекции спина второго нуклона, что позволяет присвоить ему название Flip-оператора. Каждый из этих операторов дает свою собственную часть дифференциального сечения:

$$\frac{d\sigma}{dt}^{\text{Non-Flip}} = \frac{1}{4} \operatorname{tr} \left\{ \hat{\lambda} \hat{\lambda}^+ \right\} = |a|^2 + |c|^2, \quad (13)$$

$$\frac{d\sigma}{dt}^{\text{Flip}} = \frac{1}{4} \text{tr} \{ \hat{\sigma} \hat{\mu} \hat{\mu}^+ \hat{\sigma} \} = \frac{1}{4} \text{tr} \{ \hat{\mu} \hat{\mu}^+ \} = |b|^2 + |c|^2 + |e|^2 + |f|^2. \quad (14)$$

Номера частиц в формулах (11) и (12) можно поменять местами, но в результате получим те же определения (13) и (14), что говорит об эквивалентности¹ понятий Flip и Non-Flip в отношении рассеянного нуклона и нуклона отдачи.

3. np -ПЕРЕЗАРЯДКА НА КВАЗИСВОБОДНОМ ПРОТОНЕ

Вероятность S-волнового состояния нуклонов в дейтроне $\geq 96\%$. Их характерный ферми-импульс $k_F = 45,78 \text{ МэВ}/c$. Для анализа nd -реакции можно использовать импульсное приближение, что легко понять на примере простых вычислений. Если кинетическая энергия налетающего нейтрона равна 200 МэВ, то продолжительность τ_{nd} его столкновения с дейтроном оказывается почти в 12 раз меньше характерного периода T_d взаимодействия самих нуклонов в дейтроне $T_d/\tau_{nd} \approx v_n/v_F \approx 12$, где v_n и v_F — скорости нейтрона пучка и нуклона дейтрона соответственно, определенные в системе центра масс дейтрона. С ростом энергии это отношение увеличивается до 20, так что нуклоны дейтрона в реакции $nd \rightarrow p(nn)$ можно считать почти свободными частицами и рассмотреть данный процесс, используя формализм упругой перезарядки $pr \rightarrow pn$. Обозначим налетающий нейtron частицей 1, квазисвободный протон — частицей 2, а нейтрон-спектатор назовем частицей 3. Сpin дейтрона равен $S = 1$, и проекции $S_z = +1, 0, -1$ на выбранную ось квантования в опыте с неполяризованным дейтроном имеют одинаковую вероятность $1/3$. Если налетающий нейtron также неполяризован, то число равновероятных спиновых состояний системы nd равно 6: $S_z^{nd} = \pm 3/2, \pm 1/2, \mp 1/2$. Переходя к расчету реакции $nd \rightarrow p(nn)$, необходимо ввести коэффициент $2/3$, так как дифференциальное сечение перезарядки $pr \rightarrow pn$ нормировано на четыре комбинации спинов нейтрона и протона. В начальном состоянии спиновые функции нуклонов дейтрона имеют вид

$$\chi_{1,+1} = (\uparrow^{(2)} \uparrow^{(3)}), \quad \chi_{1,0} = \frac{1}{\sqrt{2}} (\uparrow^{(2)} \downarrow^{(3)} + \downarrow^{(2)} \uparrow^{(3)}), \quad \chi_{1,-1} = (\downarrow^{(2)} \downarrow^{(3)}). \quad (15)$$

Матрицу рассеяния M_σ возьмем в форме (11). Оператор $\hat{\lambda}$ не действует на спин протона 2, поэтому $\hat{\lambda}$ переводит эти функции (15) сами в себя и дает только триплетные состояния системы двух нейтронов после взаимодействия. Напротив, Flip-оператор $\hat{\sigma}^{(2)} \hat{\mu}$ может изменять проекции спина частицы 2 и привести не только к триплетным состояниям (15), но и к синглетному $S = 0$:

$$\chi_0 = \frac{1}{\sqrt{2}} (\uparrow^{(2)} \downarrow^{(3)} - \downarrow^{(2)} \uparrow^{(3)}). \quad (16)$$

¹Данную эквивалентность нужно понимать в том смысле, что взаимодействие, определяемое Flip-оператором рассеянной частицы, происходит с той же вероятностью, что и Flip-взаимодействие нуклона отдачи. То же самое справедливо для оператора Non-Flip. Однако в каком-либо единичном рассеянии переворот спина одной частицы не обязательно приводит к перевороту спина второй. Проследить это можно с помощью четырех процирующих операторов, аналогичных тем, которые используются в формулах (5)–(8), с заменой изотопических матриц τ на спиновые σ -матрицы.

Для упрощения расчетов запишем Flip-оператор в более удобном виде:

$$\hat{\sigma}^{(2)} \hat{\mu} = 2 \left[\sigma_+^{(2)} \mu_- + \sigma_-^{(2)} \mu_+ \right] + \sigma_z^{(2)} \mu_z, \quad (17)$$

где

$$\sigma_{\pm} = \frac{1}{2} (\sigma_x \pm i\sigma_y), \quad \mu_{\pm} = \frac{1}{2} (\mu_x \pm i\mu_y).$$

Получаем формулы

$$\hat{\sigma}^{(2)} \hat{\mu} \chi_0 = -\sqrt{2} \mu_- \chi_{1,1} + \sqrt{2} \mu_+ \chi_{1,-1} + \mu_z \chi_{1,0}, \quad (18)$$

$$\hat{\sigma}^{(2)} \hat{\mu} \chi_{1,0} = \sqrt{2} \mu_- \chi_{1,1} + \sqrt{2} \mu_+ \chi_{1,-1} + \mu_z \chi_0, \quad (19)$$

$$\hat{\sigma}^{(2)} \hat{\mu} \chi_{1,1} = \sqrt{2} \mu_+ (\chi_{1,0} - \chi_0) + \mu_z \chi_{1,1}, \quad (20)$$

$$\hat{\sigma}^{(2)} \hat{\mu} \chi_{1,-1} = \sqrt{2} \mu_- (\chi_{1,0} + \chi_0) - \mu_z \chi_{1,-1}. \quad (21)$$

Сечения переходов $S_d = 1 \rightarrow S_{(nn)} = 1$ и $S_d = 1 \rightarrow S_{(nn)} = 0$, далее обозначенные как $\rho_{1 \rightarrow 1}^{\lambda}$, $\rho_{1 \rightarrow 1}^{\sigma\mu}$ и $\rho_{1 \rightarrow 0}^{\sigma\mu}$, находим, суммируя по всем спиновым состояниям дейтрона и (nn) -системы:

$$\rho_{1 \rightarrow 0}^{\sigma\mu} = \frac{2}{3} (2 |\mu_+|^2 + 2 |\mu_-|^2 + |\mu_z|^2) = \frac{1}{6} \text{tr} \{ \hat{\mu} \hat{\mu}^+ \} = \frac{2}{3} \cdot \frac{d\sigma^{\text{Flip}}}{dt}_{np \rightarrow pn}, \quad (22)$$

$$\rho_{1 \rightarrow 1}^{\sigma\mu} = \frac{2}{6} \text{tr} \{ \hat{\mu} \hat{\mu}^+ \} = \frac{4}{3} \frac{d\sigma^{\text{Flip}}}{dt}_{np \rightarrow pn}, \quad (23)$$

$$\rho_{1 \rightarrow 1}^{\lambda} = \frac{3}{6} \text{tr} \{ \hat{\lambda} \hat{\lambda}^+ \} = 2 \frac{d\sigma^{\text{Non-Flip}}}{dt}_{np \rightarrow pn}. \quad (24)$$

Дифференциальное сечение реакции $nd \rightarrow p(nn)$ определяется умножением сечений $\rho_{1 \rightarrow 1}^{\lambda}$, $\rho_{1 \rightarrow 1}^{\sigma\mu}$ и $\rho_{1 \rightarrow 0}^{\sigma\mu}$ на соответствующие им вероятности волновой функции двух нейтронов. Поскольку изоспин (nn) -системы равен $T = 1$, то в состояниях $\chi_{1,1}$, $\chi_{1,0}$ и $\chi_{1,-1}$, когда $S = 1$, эта система должна быть нечетной по орбитальному моменту L , а в состоянии χ_0 с полным спином $S = 0$ она будет четной. Пусть \mathbf{r} — радиус-вектор нейтрона в системе центра масс (nn) -пары, и $\Psi(\mathbf{r})$ является волновой функцией нейтрона сразу после nd -взаимодействия. В импульсном представлении четная $a^+(\mathbf{k})$ - и нечетная $a^-(\mathbf{k})$ -волны записутся в виде

$$a^{\pm}(\mathbf{k}) = \frac{1}{2} \int_{-\infty}^{\infty} \Psi(\mathbf{r})(\varphi_k^*(\mathbf{r}) \pm \varphi_k^*(-\mathbf{r})) dV, \quad \text{где } dV = dx dy dz. \quad (25)$$

Волновая функция $\varphi_k^*(\mathbf{r})$ является суперпозицией плоской и расходящихся сферических волн [12], и здесь мы используем следующую нормировку:

$$\int_{-\infty}^{\infty} \varphi_k(\mathbf{r}) \varphi_k^*(\mathbf{r}') d^3\mathbf{k} = \delta^3(\mathbf{r} - \mathbf{r}'). \quad (26)$$

После несложных вычислений находим вероятности четных и нечетных волн:

$$\varepsilon^\pm = \int_{-\infty}^{\infty} |a^\pm(\mathbf{k})|^2 d^3\mathbf{k} = \frac{1}{2} \pm \frac{1}{2} \int_{-\infty}^{\infty} \Psi(\mathbf{r}) \Psi^*(-\mathbf{r}) dV, \quad \varepsilon^+ + \varepsilon^- = 1. \quad (27)$$

В процессе $nd \rightarrow p(nn)$ -перезарядки нейтрон отдачи (и вся nn -система в целом) получает импульс $\mathbf{q} = \mathbf{p} - \mathbf{p}'$, где \mathbf{p} и \mathbf{p}' — импульсы налетающей и рассеянной частиц. Поэтому в системе центра масс (nn)-пары нейtronам добавляются импульсы $\mathbf{q}/2$ и $-\mathbf{q}/2$. Возмущенную волну $\Psi(\mathbf{r})$ можно записать в форме $\Psi(\mathbf{r}) = \Psi_d(\mathbf{r}) e^{i \mathbf{q}\mathbf{r}/2}$, где $\Psi_d(\mathbf{r})$ — волновая функция дейтрана, что позволяет определить вероятности ε^+ и ε^- с помощью формфактора $F(t) = \int |\Psi_d(\mathbf{r})|^2 e^{i \mathbf{q}\mathbf{r}} dV$:

$$\varepsilon^\pm = \frac{1}{2} (1 \pm F(t)), \text{ где } t \equiv t(q, \Delta E) \approx -q^2. \quad (28)$$

В итоге имеем:

$$\frac{d\sigma}{dt}_{nd \rightarrow p(nn)} = [\rho_{1 \rightarrow 1}^\lambda + \rho_{1 \rightarrow 1}^{\sigma\mu}] \frac{1}{2} (1 - F(t)) + [\rho_{1 \rightarrow 0}^{\sigma\mu}] \frac{1}{2} (1 + F(t)). \quad (29)$$

Объединив $\rho_{1 \rightarrow 1}^{\sigma\mu}$ и $\rho_{1 \rightarrow 0}^{\sigma\mu}$, получаем формулу Дина [3–5]:

$$\frac{d\sigma}{dt}_{nd \rightarrow p(nn)} = \frac{d\sigma}{dt}_{np \rightarrow pn}^{\text{Non-Flip}} (1 - F(t)) + \frac{d\sigma}{dt}_{np \rightarrow pn}^{\text{Flip}} \left(1 - \frac{1}{3} F(t) \right). \quad (30)$$

Когда угол рассеяния близок к нулю, то $t \simeq 0$, и формфактор стремится к единице $F(t) \simeq 1$, поэтому Non-Flip-часть сечения исчезает и формула (30) упрощается:

$$\frac{d\sigma}{dt}_{nd \rightarrow p(nn)(0)} = \frac{2}{3} \frac{d\sigma}{dt}_{np \rightarrow pn(0)}^{\text{Flip}}. \quad (31)$$

Это связывает величины $R_{dp}(0)$ и $r_{np \rightarrow pn(0)}^{\text{nfl/fl}}$ очень простой зависимостью:

$$R_{dp}(0) = \frac{2}{3} \frac{\frac{d\sigma}{dt}_{np \rightarrow pn(0)}}{\frac{d\sigma}{dt}_{np \rightarrow pn(0)}}^{\text{Flip}} = \frac{2}{3} \frac{1}{1 + r_{np \rightarrow pn(0)}^{\text{nfl/fl}}}, \quad r_{np \rightarrow pn(0)}^{\text{nfl/fl}} = \frac{2}{3} \frac{1}{R_{dp}(0)} - 1. \quad (32)$$

Таким образом, дейтран в качестве амплитудного фильтра может быть использован в R_{dp} -измерениях для определения Flip- и Non-Flip-частей процесса перезарядки $np \rightarrow pn$, т. е. для наблюдения спиновых эффектов np -взаимодействия даже без поляризации нуклонов пучка и мишени. При изложении этого раздела мы следовали работе [5] и также привели некоторые уточнения, которые показались нам существенными. На протяжении ряда лет укрепилось мнение [13, 14], что в формуле (30) Non-Flip- и Flip-части $np \rightarrow pn$ -перезарядки вперед можно замещать одноименными частями упругого $np \rightarrow np$ -рассеяния назад. Это совершенно неверно и будет рассмотрено ниже (см. также [6, 7]). Мы не отвергаем самой возможности связать между собой дифференциальные сечения реакций $nd \rightarrow p(nn)$ и $np \rightarrow np$, но формула (30) не позволяет этого сделать, поскольку получена в предположении зарядово-обменного процесса $np \rightarrow pn$. Подтверждает это и сама работа Дина [4], где сказано: «For the non-charge-exchange reaction, however, no such simple result follows».

4. УНИТАРНЫЙ ПЕРЕХОД МЕЖДУ ПРЕДСТАВЛЕНИЯМИ

$$np \rightarrow np(\pi - \theta) \text{ И } np \rightarrow pn(\theta)$$

Волновая функция двух тождественных фермионов должна быть антисимметрична относительно полной перестановки всех переменных. Для нуклонов это переменные пространства (\mathbf{r}), спина (ζ) и изоспина (η). Математическая запись данного правила имеет вид

$$\hat{P}^M \times \Psi(\mathbf{r}_1, \mathbf{r}_2; \zeta_1, \zeta_2; \eta_1, \eta_2) = \Psi(\mathbf{r}_2, \mathbf{r}_1; \zeta_2, \zeta_1; \eta_2, \eta_1), \quad (33)$$

где \hat{P}^M — обменный оператор Майораны [10]:

$$\hat{P}^M = -\frac{1 + \hat{\sigma}^{(1)}\hat{\sigma}^{(2)}}{2} \frac{1 + \hat{\tau}^{(1)}\hat{\tau}^{(2)}}{2}, \quad |\hat{P}^M|^2 = 1. \quad (34)$$

Унитарность \hat{P}^M сохраняет квадрат волновой функции, а значит и дифференциальное сечение. В смысле эксперимента полная перестановка равносильна тому, что вместо частицы 1, рассеянной под углом θ , наблюдается частица 2, рассеянная в угол $(\pi - \theta)$, и первая теперь именуется частицей отдачи. Пусть рассеянная волна двух нуклонов имеет вид $\Psi = M\chi\chi^T$, где χ и χ^T — спиновая и изотопическая функции. При одинаковых начальных условиях переход от одного представления к другому равносителен действию оператора Майораны на матрицу рассеяния M . Амплитуды упругой реакции $np \rightarrow np(\pi - \theta)$ обозначим символом «~». Для перезарядки $np \rightarrow pn(\theta)$ находим

$$\begin{aligned} M^{np \rightarrow pn} &= \hat{P}^M \times \widetilde{M}^{np \rightarrow np} = \\ &= -\frac{1 + \hat{\sigma}^{(1)}\hat{\sigma}^{(2)}}{2} \frac{1 + \hat{\tau}^{(1)}\hat{\tau}^{(2)}}{2} \times \frac{1}{2} (\widetilde{M}_1 + \widetilde{M}_0) \frac{1 - \tau_3^{(1)}\tau_3^{(2)}}{2} = \\ &= -\frac{1 + \hat{\sigma}^{(1)}\hat{\sigma}^{(2)}}{2} \times \frac{1}{2} (\widetilde{M}_1 + \widetilde{M}_0) (\tau_+^{(1)}\tau_-^{(2)} + \tau_-^{(1)}\tau_+^{(2)}). \end{aligned} \quad (35)$$

При выводе (35) использовались формулы $(1 + \tau_3^{(1)}\tau_3^{(2)})(1 - \tau_3^{(1)}\tau_3^{(2)}) = 0$, $\tau_+\tau_3 = -\tau_-$ и $\tau_-\tau_3 = \tau_+$. Наличие оператора $(\tau_+^{(1)}\tau_-^{(2)} + \tau_-^{(1)}\tau_+^{(2)})$ говорит, что вновь определенная матрица $M^{np \rightarrow pn}$ меняет местами n и p , как и должно быть согласно (8). Дальнейшее преобразование связано только со спиновой матрицей $\widetilde{M}_\sigma^{np \rightarrow np} = (1/2)(\widetilde{M}_1 + \widetilde{M}_0)$:

$$M_\sigma^{np \rightarrow pn} = -\frac{1 + \hat{\sigma}^{(1)}\hat{\sigma}^{(2)}}{2} \times \widetilde{M}_\sigma^{np \rightarrow np}. \quad (36)$$

Взяв $\widetilde{M}_\sigma^{np \rightarrow np}$ в форме (2), используя формулы

$$\hat{\sigma}^{(1)}\hat{\sigma}^{(2)} \times \sigma_i^{(1)}\sigma_i^{(2)} = 1 - \hat{\sigma}^{(1)}\hat{\sigma}^{(2)} + \sigma_i^{(1)}\sigma_i^{(2)}, \text{ где } i = n, m, l, \quad (37)$$

$$\hat{\sigma}^{(1)}\hat{\sigma}^{(2)} \times (\sigma_n^{(1)} + \sigma_n^{(2)}) = \sigma_n^{(1)} + \sigma_n^{(2)}, \quad (38)$$

учитывая, что после перехода базис векторов изменился (4), находим равенство $c(\theta) = \tilde{c}(\pi - \theta)$ и выражение для других четырех амплитуд:

$$\begin{pmatrix} a(\theta) \\ b(\theta) \\ e(\theta) \\ f(\theta) \end{pmatrix} = A \cdot \begin{pmatrix} \tilde{a}(\pi - \theta) \\ \tilde{b}(\pi - \theta) \\ \tilde{e}(\pi - \theta) \\ \tilde{f}(\pi - \theta) \end{pmatrix}, \text{ где } A = \begin{pmatrix} -1/2 & -1/2 & -1/2 & -1/2 \\ -1/2 & -1/2 & +1/2 & +1/2 \\ -1/2 & +1/2 & +1/2 & -1/2 \\ -1/2 & +1/2 & -1/2 & +1/2 \end{pmatrix}. \quad (39)$$

Матрица A является симметричной и унитарной: $A = A^{-1} = A^+$, $|A| = 1$. Это естественно, так как обратный переход задается тем же обменным оператором Майораны. Амплитуды $a(\theta)$ и $\tilde{a}(\pi - \theta)$ не тождественны, что говорит о различии Non-Flip-частей (13) в двух представлениях. Аналогичное изменение происходит с Flip-амплитудами и их вкладом. Когда $\theta = 0$, симметрия пространства дает упрощения: $\tilde{b}(\pi) = \tilde{f}(\pi)$, $b(0) = e(0)$ и $\tilde{c}(\pi) = c(0) = 0$. В этом случае получаем формулы, известные по работам [6, 7], где впервые была решена данная проблема для коллинеарной кинематики:

$$\begin{aligned} a(0) &= -\frac{1}{2}(\tilde{a}(\pi) + 2\tilde{b}(\pi) + \tilde{e}(\pi)), \\ b(0) &= -\frac{1}{2}(\tilde{a}(\pi) - \tilde{e}(\pi)), \\ f(0) &= -\frac{1}{2}(\tilde{a}(\pi) - 2\tilde{b}(\pi) + \tilde{e}(\pi)). \end{aligned} \quad (40)$$

В элегантном методе [6, 7] используется оператор Бартлетта [10]: $\hat{P}^B = \frac{1}{2}(1 + \hat{\sigma}^{(1)}\hat{\sigma}^{(2)})$, меняющий спины двух фермионов, что связывает спиновые матрицы, как показано в формуле (36). Различие представлений становится еще очевидней, если разбить матрицу $\tilde{M}_\sigma^{np \rightarrow np}$ на спин-синглетную SS и спин-триплетную ST части. Легко находим: $\hat{P}^B \times SS = -SS$ и $\hat{P}^B \times ST = ST$, поэтому

$$\tilde{M}_\sigma^{np \rightarrow np} = SS + ST, \quad M_\sigma^{np \rightarrow pn} = -\hat{P}^B \times \tilde{M}_\sigma^{np \rightarrow np} = SS - ST, \quad (41)$$

т. е. смена представления равносильна изменению знака спин-триплетной части спиновой матрицы. Может возникнуть иллюзия, что унитарный переход действует лишь в отношении нейтрона и протона, однако для pp - или nn -матриц рассеяния преобразования будут те же самые, и правило (39) останется справедливым и для них. Заметим также, что амплитуда a , принадлежащая Non-Flip-части дифференциального сечения (13), часто обозначается как Spin-Independent. Этот термин нам кажется не совсем удачным, поскольку неравенством $a(\theta) \neq \tilde{a}(\pi - \theta)$ определена ее зависимость от перестановки спинов двух частиц. На самом деле амплитуда a выражает собой ту часть матрицы, которая не зависит от ориентации спинов только внутри выбранного представления.

5. ЭКСПЕРИМЕНТАЛЬНЫЕ РЕЗУЛЬТАТЫ

Коллаборация «Дельта-сигма» успешно провела измерения $R_{dp}(0)$ отношения в четырех сеансах в 2002–2007 гг. С использованием жидких D_2/H_2 -мишеней, а также твердых $CD_2/CH_2/C$ -мишеней было получено семь точек при энергиях $T_n = 0,5\text{--}2,0$ ГэВ (таблица, рис. 1). Предварительные данные по $R_{dp}(0)$ опубликованы в работах [15–17], и окончательные результаты представлены в статьях [18–21], где также приведено описание установки и методики измерений. Оказалось, что в диапазоне энергий $T_n = 0,5\text{--}2,0$ ГэВ величина $R_{dp}(0)$ ведет себя подобно константе на уровне 0,56 в пределах ошибок. С помощью формулы (32) мы рассчитали соответствующие отношения $r_{np \rightarrow pn(0)}^{nfl/fl}$ (см. таблицу, рис. 2). Как хорошо видно, Non-Flip-часть всюду отлична от нуля, и ее вклад в дифференциальное сечение составляет $\approx 17\%$. Также мы наблюдаем хорошее согласие с результатами LAMPF [22, 23] и LRL [24] (см. три точки ниже 1 ГэВ), а при энер-

Результаты измерений $R_{dp}(0)$ и $r_{np \rightarrow pn(0)}^{nfl/fl}$ и их полные ошибки ε_{tot}

Параметры	$T_n, \text{ГэВ}$						
	0,55	0,8	1,0	1,2	1,4	1,8	2,0
R_{dp}	0,589	0,554	0,553	0,551	0,576	0,568	0,564
ε_{tot}	0,046	0,023	0,026	0,022	0,038	0,033	0,045
$r_{np \rightarrow pn}^{nfl/fl}$	0,133	0,204	0,206	0,209	0,158	0,174	0,183
ε_{tot}	0,088	0,051	0,057	0,048	0,077	0,068	0,094

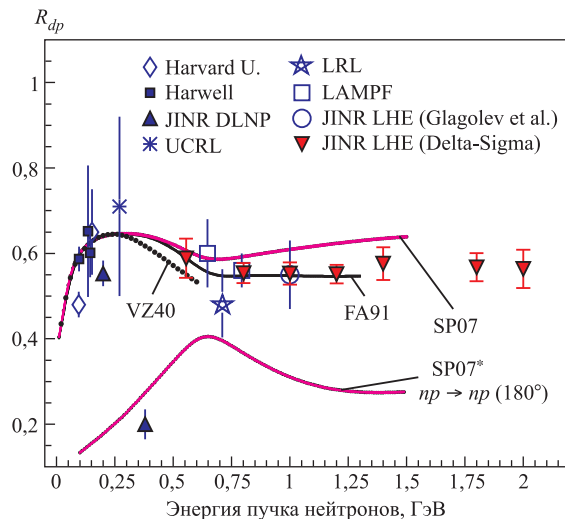


Рис. 1. Энергетическая зависимость $R_{dp}(0)$ отношения выходов $nd \rightarrow p(nm)$ квазиупругого и $np \rightarrow pn$ упругого процессов перезарядки под нулевым углом. Решения фазового анализа VZ40, FA91 и SP07, взятые из базы данных SAID как амплитуды реакции $np \rightarrow np(\theta = \pi)$, переведены с помощью (39) в представление $np \rightarrow pn(0)$, и значения $R_{dp}(0)$ рассчитаны по формуле (32). Кривая SP07* получена нами подстановкой в ту же формулу Non-Flip- и Flip-частей реакции $np \rightarrow np(\theta = \pi)$, т. е. без учета разницы представлений

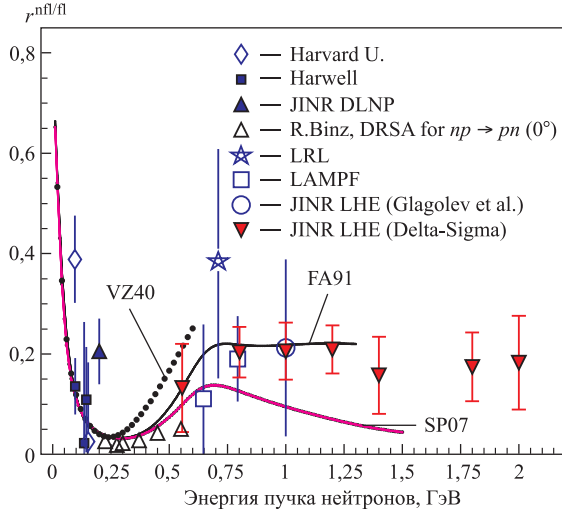


Рис. 2. Энергетическая зависимость $r_{np \rightarrow pn(0)}^{nfl/fl}$ отношения Non-Flip- и Flip-частей процесса упругой перезарядки $np \rightarrow pn$ под нулевым углом. Наши и другие экспериментальные точки получены прямым вычислением по данным $R_{dp}(0)$ с использованием (32). Решения фазового анализа трансформированы по формулам (39). Точки Р. Бинца [13, 14], являющиеся результатом DRSA-анализа упругой реакции $np \rightarrow np(\theta = \pi)$, также приведены нами к представлению зарядово-обменного процесса $np \rightarrow pn(0)$

гии 1,0 ГэВ — полное совпадение с еще одной точкой ЛВЭ [25]. Согласно данным DLNP [26] (см. точку при 0,38 ГэВ) в наборе при энергии $T_n = 0,55$ ГэВ мы ожидали, что значение $R_{dp}(0)$ с убыванием энергии будет уменьшаться, чего на самом деле не произошло. Результат [26] вызывает у нас некоторые сомнения и сам по себе является критичным относительно второй точки DLNP [27]. Другие мировые данные UCRL [28], Harwell [29, 30] и Harvard University [31] принадлежат диапазону 90–270 МэВ.

Чтобы сравнить полученные результаты с фазовым анализом (PSA), мы взяли из базы данных SAID решения FA91 [32], VZ40 [33] и SP07 [34] для $np \rightarrow np(\theta = \pi)$ упругой реакции и с помощью (39) перевели их в представление перезарядки $np \rightarrow pn(0)$. Энергетические кривые $R_{dp}(0)$ и $r_{np \rightarrow pn(0)}^{nfl/fl}$ рассчитаны по формулам (10), (13), (14), (32) и представлены на рис. 1, 2. Легко видеть, что экспериментальные данные близки решениям PSA и практически повторяют FA91. Без надлежащего унитарного перехода это согласие исчезает (см. кривую SP07* на рис. 1 или рис. 8 в [17]).

ЗАКЛЮЧЕНИЕ

С использованием новых экспериментальных данных [21] и формулы Дина (32) рассчитаны семь значений отношения $r_{np \rightarrow pn(0)}^{nfl/fl}$ между Flip- и Non-Flip-частями дифференциального сечения реакции перезарядки $np \rightarrow pn$ под нулем градусов в диапазоне энергий $T_n = 0,5\text{--}2,0$ ГэВ (см. таблицу, рис. 2). Установлено, что Non-Flip-часть не равна нулю и составляет в ней $\approx 17\%$.

Подробно рассмотрен унитарный переход между двумя представлениями pr -взаимодействия: от упругой реакции $pr \rightarrow pr(\pi - \theta)$ к перезарядке $pr \rightarrow pn(\theta)$ при любом значении угла рассеяния θ . Решения фазового анализа, измененные этим преобразованием, полностью согласуются с результатами эксперимента (см. рис. 1 и 2).

Благодарности. Мы благодарим проф. В.Л. Любощица и доктора Ю.Н. Узикова за помощь и теоретические консультации. Наш эксперимент был поддержан Российским фондом фундаментальных исследований, проекты №02-02-17129 и №07-02-01025.

СПИСОК ЛИТЕРАТУРЫ

1. Sharov V. I. et al. Research Program of LHE JINR / Ed. by A. M. Baldin // Delta-Sigma Experiment. Dubna, 1999. P. 37–43.
2. Sharov V. I. et al. // Eur. Phys. J. C. 2004. V. 37. P. 79; Yad. Phys. 2005. V. 68, No. 11. P. 185; Czech. J. Phys. 2005. V. 55. P. A289–A305.
3. Dean N. W. // Phys. Rev. D. 1972. V. 5, No. 7. P. 1661.
4. Dean N. W. // Ibid. No. 11. P. 2832.
5. Glagolev V. V. et al. JINR Commun. E1-99-280. Dubna, 1999.
6. Lyuboshitz V. L., Lyuboshitz V. V. // Proc. of the XI Intern. Workshop on Elastic and Diffractive Scattering. Towards High Energy Frontiers, Blois, France, May 15–20, 2005. Gioi Publ., 2006. P. 223–227.
7. Lyuboshitz V. L., Lyuboshitz V. V. // Proc. of the XIV Intern. Seminar on Interaction of Neutrons with Nuclei. Dubna, 2007. P. 64–74.
8. Goldberger M. L., Nambu Y., Oehme R. // Ann. Phys. (N.Y.). 1957. V. 2. P. 226.
9. Goldberger M. L., Watson K. M. Collision Theory. N. Y.: John Wiley & Sons, 1964.
10. Бламт Дж., Вайсконф В. Теоретическая ядерная физика. М., 1954. Гл. III. §§ 3, 5.
11. Хюльтен Л., Сагавара М. Строение атомного ядра. М., 1959. Т. III. Ч. I, гл. 4, разд. 13.
12. Ландау Л. Д., Лившиц Е. М. Квантовая механика. М., 1972. §§ 12, 62.
13. Binz R. Ph.D. Thesis. Freiburg Univ. Germany, 1991.
14. Binz R. et al. // Helvetica Phys. Acta. 1992. V. 65. P. 880.
15. Strunov L. N. et al. // Czech. J. Phys. 2006. V. 56. P. C343–C357.
16. Morozov A. A. et al. // Czech. J. Phys. 2005. V. 55. P. A307–A314.
17. Morozov A. A. et al. // Czech. J. Phys. 2006. V. 56. P. C369–C377.
18. Strunov L. N. et al. // Proc. of XII Advanced Research Workshop on High Energy Spin Physics (DSPIN-07). Dubna, 2007. P. 345–352; Eur. Phys. J. ST. 2008. V. 162. P. 125–132.
19. Shindin R. A. et al. // Proc. of XII Advanced Research Workshop on High Energy Spin Physics (DSPIN-07). Dubna, 2007. P. 353–357; Eur. Phys. J. ST. 2008. V. 162. P. 117–123.

20. Sharov V. I. et al. JINR Communs. E1-2008-61, E1-2008-62. Dubna, 2008.
21. Sharov V. I. et al. // Eur. Phys. J. A. 2009. V. 39. P. 267–280; ЯФ. 2009. Т. 72, № 6. С. 1051–1069 (Phys. At. Nucl. 2009. V. 72, No. 6. P. 1007–1025).
22. Bonner B. E. et al. // Phys. Rev. C. 1978. V. 17. P. 664.
23. Bjork C. W. et al. // Phys. Lett. B. 1976. V. 63. P. 31.
24. Larsen R. R. // Nuovo Cim. 1960. V. 18. P. 1039.
25. Glagolev V. V. et al. // Eur. Phys. J. A. 2002. V. 15. P. 471; JINR Commun. P1-2006-112. Dubna, 2006.
26. Dzhelepov V. P. et al. // Izv. Akad. Nauk. 1955. V. 19. P. 573; Nuovo Cim. Suppl. 1956. V. 3. P. 61.
27. Dzhelepov V. P. // 1962 Intern. Conf. on High-Energy Physics at CERN. Geneva, July 4–11, 1962. P. 19.
28. Cladis J. R., Hadley J., Hess W. N. // Phys. Rev. 1952. V. 86. P. 110.
29. Esten M. J. et al. // Rev. Mod. Phys. A. 1965. P. 533.
30. Langsford A. et al. // Nucl. Phys. A. 1967. V. 99. P. 246.
31. Hofman J. A., Strauch K. // Phys. Rev. 1953. V. 90. P. 559.
32. Arndt R. A. et al. // Phys. Rev. D. 1992. V. 45. P. 3995.
33. Arndt R. A., Strakovsky I. I., Workman R. L. // Phys. Rev. C. 1994. V. 50. P. 2731.
34. Arndt R. A. et al. // Phys. Rev. C. 2007. V. 76. P. 025209.

Получено 2 июля 2010 г.